

Epidemiology of obesity in children and adolescents



Prof. Dr. Hugo Tourinho Filho – EEFERP/USP

OBESIDADE

- Definida como doença crônica associada ao excesso de gordura corporal, com etiologia complexa e multifatorial, resultando da interação de estilo de vida, genes e fatores emocionais

Tecido adiposo como glândula endócrina

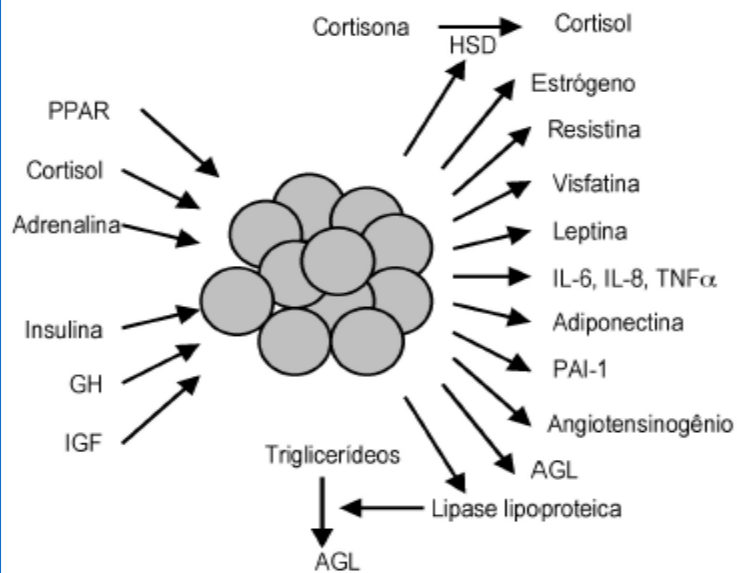


Figura 1. Representação esquemática do tecido adiposo como um órgão endócrino.
PPAR: peroxisome proliferator-activated receptor; GH: hormônio do crescimento; IGF-1: insulin growth factor 1; AGL: ácidos graxos livres; PAI-1: plasminogen activator inhibitor 1; IL: interleucina; TNF: fator de necrose tumoral; HSD: hidroxiesteróide desidrogenase.

OBESIDADE

- 56,9% da população brasileira, com mais de 18 anos está acima do peso - $\text{IMC} \geq 25$;
 - 20,8% da população são obesos - $\text{IMC} \geq 30$;
- ⇒ O índice de sobrepeso e obesidade em crianças e adolescentes passou de 4% para 14%



Obesidade na infância e adolescência

Mais brasileiros obesos

1989
2008 – 2009

Dados por faixa etária da Pesquisa de Orçamentos Familiares (POF) do IBGE revelam o crescimento do problema em 20 anos

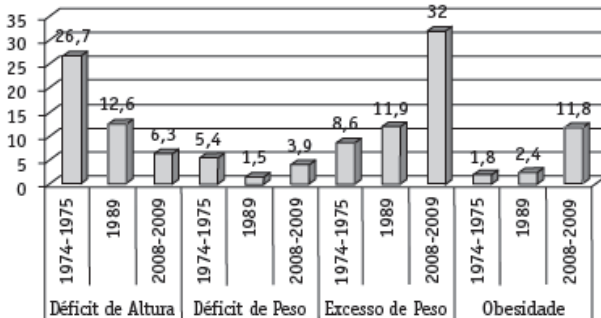


Fonte: IBGE

Obesidade na infância e adolescência

Gráfico 1 – Evolução de indicadores antropométricos na população de 5 a 9 anos de idade, por sexo – Brasil – períodos 1974-75, 1989 e 2008-2009 (IBGE).

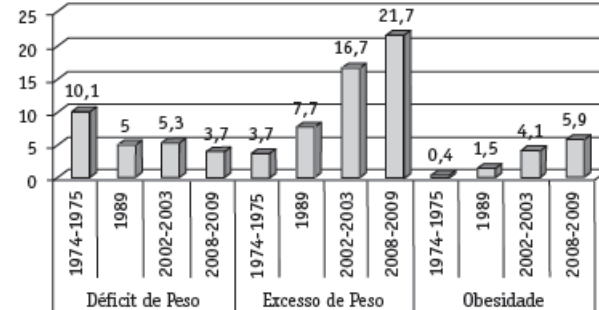
Feminino



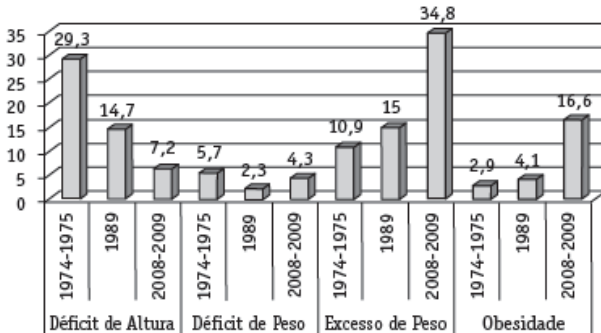
Obesidade na infância e adolescência.

Gráfico 2 – Evolução de indicadores antropométricos na população de 10 a 19 anos de idade, por sexo – Brasil – períodos 1974-75, 1989 e 2008-2009 (IBGE)

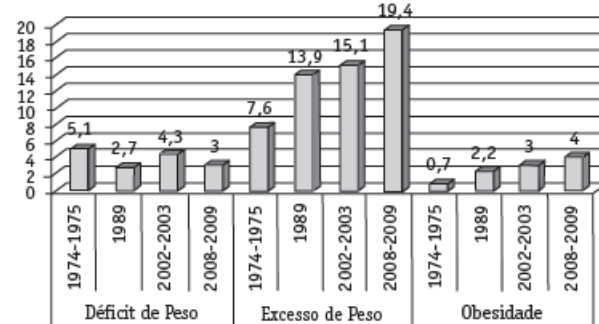
Masculino



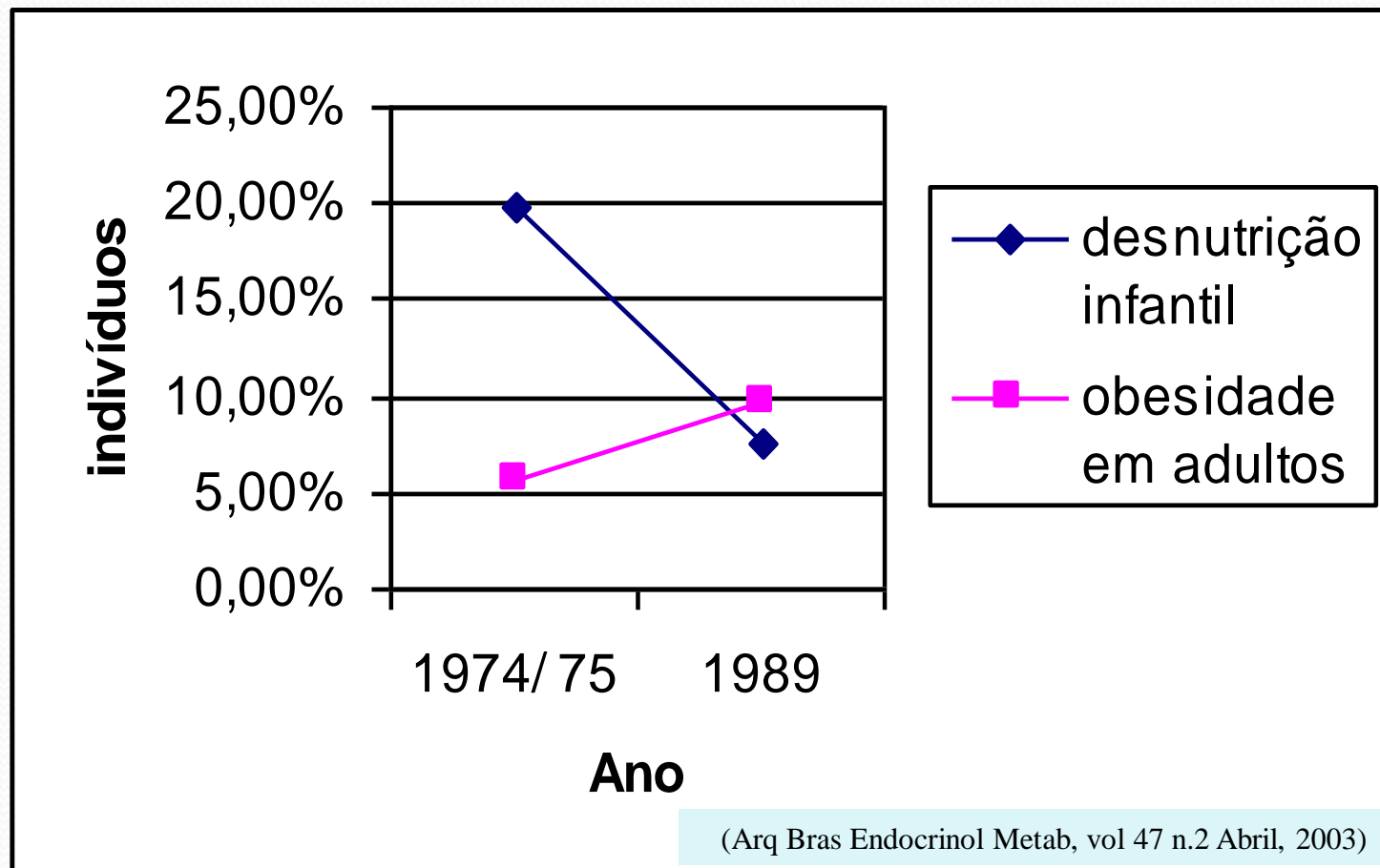
Masculino



Feminino



Nas últimas décadas ocorreu um processo de transição nutricional, constatado entre os anos de 1974/1975 e 1989:



Obesidade na infância e adolescência



Consequências da obesidade infantil



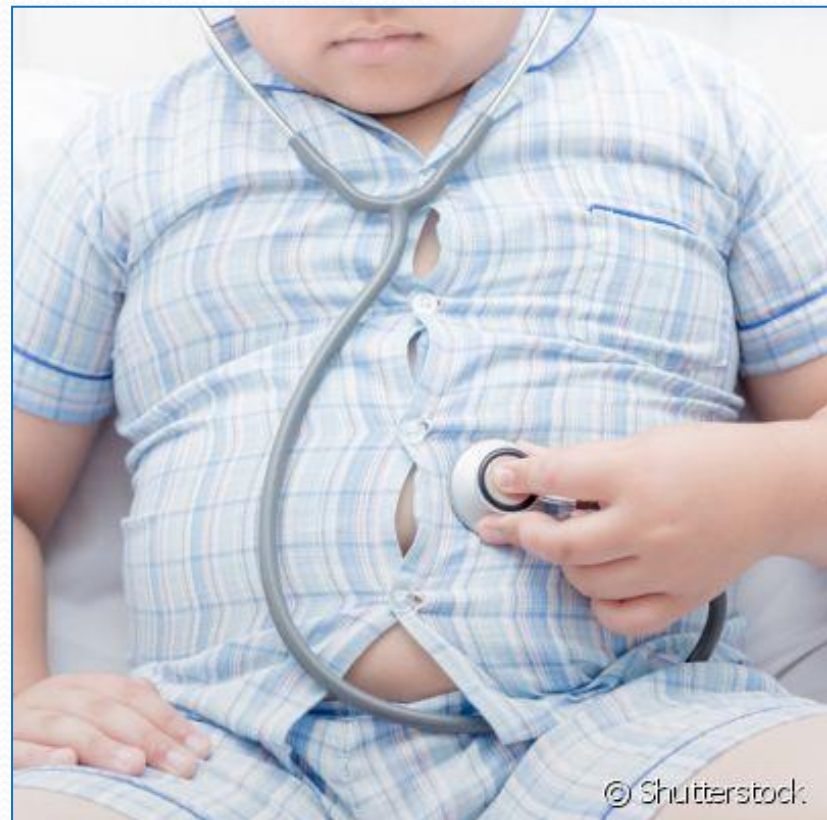
- Distúrbios metabólicos:
 - Resistência à insulina;
 - Hiperglicemia;
 - Hipertensão arterial;
 - Dislipidemia;



↑risco cardiovascular

CUSTOS DA OBESIDADE NA INFÂNCIA E ADOLESCÊNCIA

- Mundialmente, estima-se que mais de 22 milhões de crianças menores de 5 anos sejam obesas ou apresentem sobrepeso, e mais de 17 milhões estejam em países em desenvolvimento;
- Entre 1979-1981, o custo anual de hospitalização relacionado com a obesidade entre crianças e adolescentes foi de 35 milhões de dólares, custo que apresentou aumento expressivo a partir de 1997-1999, passando para 127 milhões de dólares.



© Shutterstock

Etiologia da obesidade infantil

- Fatores externos socioambientais (obesidade exógena):



Responsável por 95% dos casos

- Fatores neuroendócrinos ou genéticos (obesidade endógena):



Responsável por 5% dos casos

Obesidade exógena

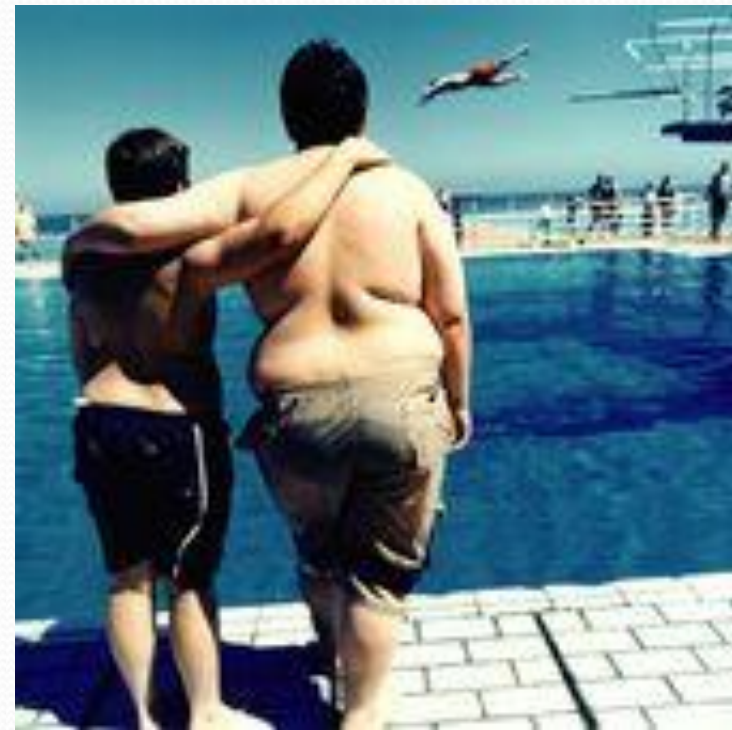
- Desmame precoce;
- Sobre peso na família;
- Alimentação excessiva;
- Distúrbio na dinâmica familiar;
- Redução da prática de atividades físicas.

(Carvalho et al. Rev. Med. Minas Gerais, 2013; 23(1):74-82)



Sedentarismo

- Crianças de 6 a 11 anos – média de 26 horas por semana na frente da TV;
- Adolescentes – passam cerca de 22 horas por semana assistindo TV;
- Cada acréscimo semanal de 1 hora em frente a TV reflete uma aumento de 2% na prevalência da obesidade infantil.



Hábitos Alimentares

- Em média uma criança americana típica assiste a cerca de 40 mil comerciais por ano na TV – a maioria de doces, sucrilhos, refrigerantes e fast food;
- As industrias alimentícias e de bebidas gastam pelo menos 10 bilhões de dólares por ano em propagandas direcionadas à criança e ao jovem.



Hábitos alimentares

- 1 Big Mac americano – 600 calorias



51% da quantidade de gordura recomendada para a ingestão diária

- 1 Big Mac brasileiro – 490 calorias



31% da ingestão diária

(Veja – Agosto, 2004)

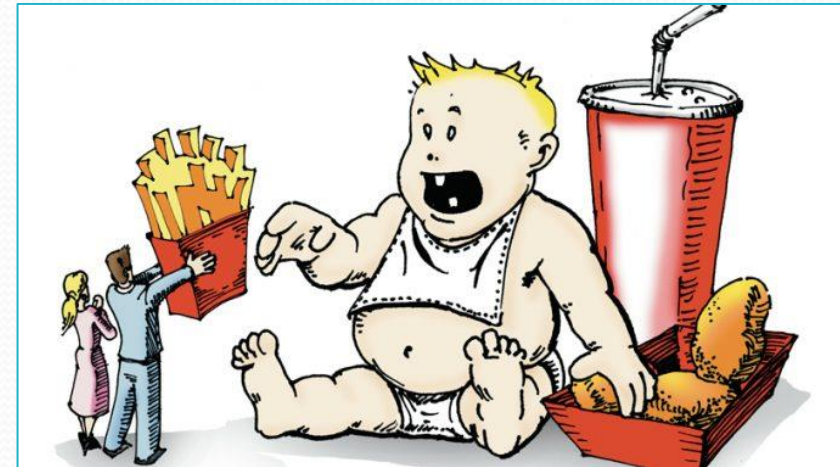
Hábitos alimentares

Um refrigerante super size



48 colheres de chá de açucar.

(Veja – agosto, 2004)



OBESIDADE E CLASSES SOCIAIS

- ⇒ Em oito anos, o número de mulheres obesas das classes D e E cresceu 30% na região sudeste;
- ⇒ Nas classes A e B houve uma queda de 40%;
- ⇒ No nordeste, o número de obesas de baixa renda aumentou 60%

(Pesquisas Epidemiológicas em Nutrição – USP, 2003)

Obesidade e Eixo GH/IGF-I

Growth Hormone & IGF Research 39 (2018) 1–5



Contents lists available at ScienceDirect

Growth Hormone & IGF Research

journal homepage: www.elsevier.com/locate/ghir



IGF-1R mRNA expression is increased in obese children

Rafaela Cristina Ricco^a, Rubens Garcia Ricco^a, Mariangela Carletti Queluz^b,
Mariana Teresa Sarti de Paula^a, Patricia Volpon Atique^a, Rodrigo José Custódio^a,
Hugo Tourinho Filho^c, Raphael Del Roio Liberatori Jr^a, Carlos Eduardo Martinelli Jr^{a,*}

^a Department of Paediatrics, Ribeirão Preto Medical School, University of São Paulo, Ribeirão Preto, SP, Brazil

^b Medical Course, University of Ribeirão Preto, Ribeirão Preto, SP, Brazil

^c School of Physical Education and Sports of Ribeirão Preto, Ribeirão Preto, SP, Brazil



Obesidade e Eixo GH/IGF-I

R.C. Ricco et al.

Growth Hormone & IGF Research 39 (2018) 1–5

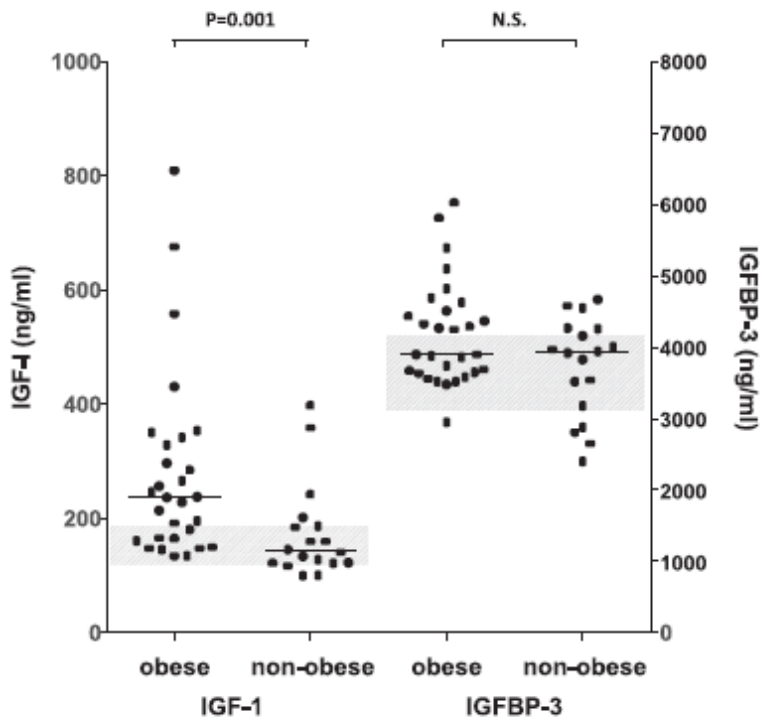


Fig. 2. Serum IGF-I (ng/ml) and IGFBP-3 (mg/l) concentrations in obese and non-obese children. Bars represent medians. Shaded area represents the interval between the 25th and 75th percentile values of non-obese children. IGF-I concentration was significantly higher in obese individuals than in the control group ($P = 0.001$). No significant (N.S., $P > 0.05$) difference was observed in IGFBP-3 concentration between the obese and control group.

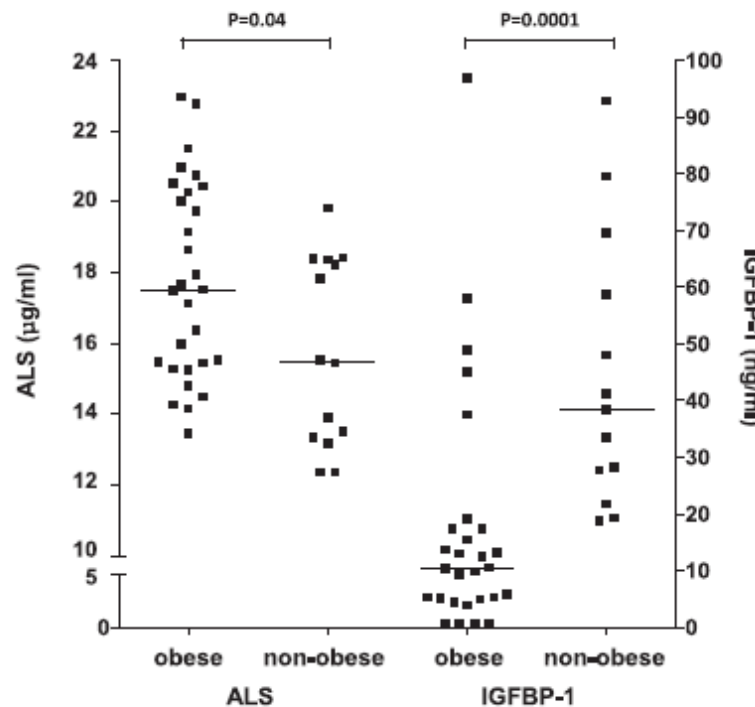


Fig. 3. Serum ALS (μg/ml) and IGFBP-1 (ng/ml) concentrations in obese and non-obese children. Bars represent medians. Shaded area represents the interval between the 25th and 75th percentile values of non-obese children. ALS concentration was significantly higher in obese children than in the control group ($P = 0.04$). IGFBP-1 concentration was significantly lower in obese children than in the control group ($P = 0.0001$). IGFBP-1 levels below 20 ng/ml were observed in 82.1% obese children but in only 15.3% controls ($P < 0.0001$).

Obesidade e Eixo GH/IGF-I

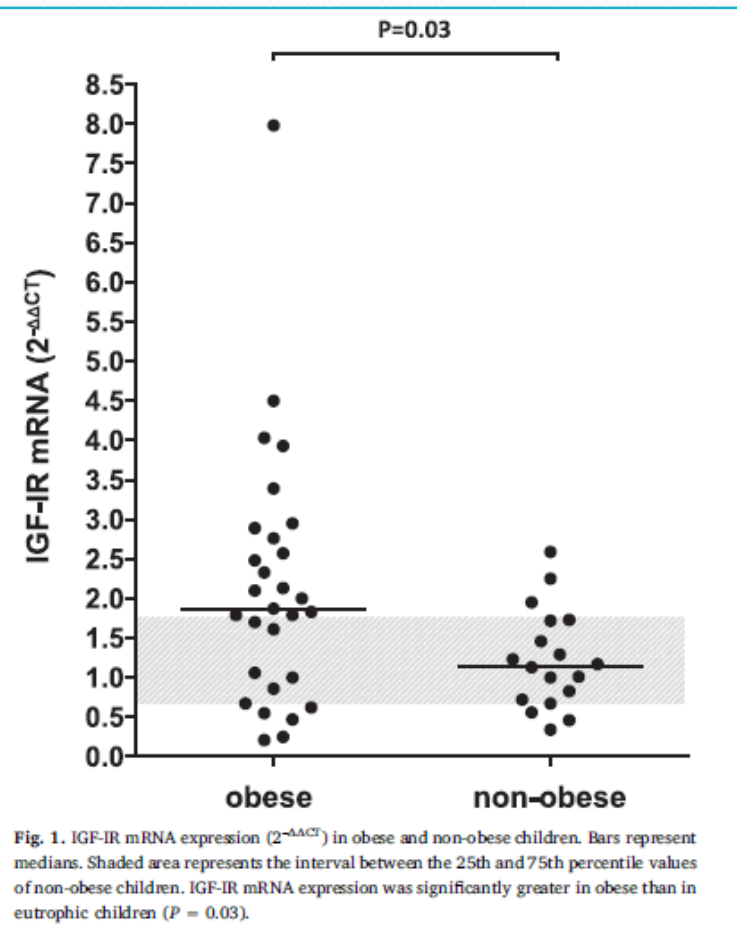


Fig. 1. IGF-IR mRNA expression ($2^{-\Delta\Delta CT}$) in obese and non-obese children. Bars represent medians. Shaded area represents the interval between the 25th and 75th percentile values of non-obese children. IGF-IR mRNA expression was significantly greater in obese than in eutrophic children ($P = 0.03$).



Obesidade e Eixo GH/IGF-I

R.C. Ricco et al.

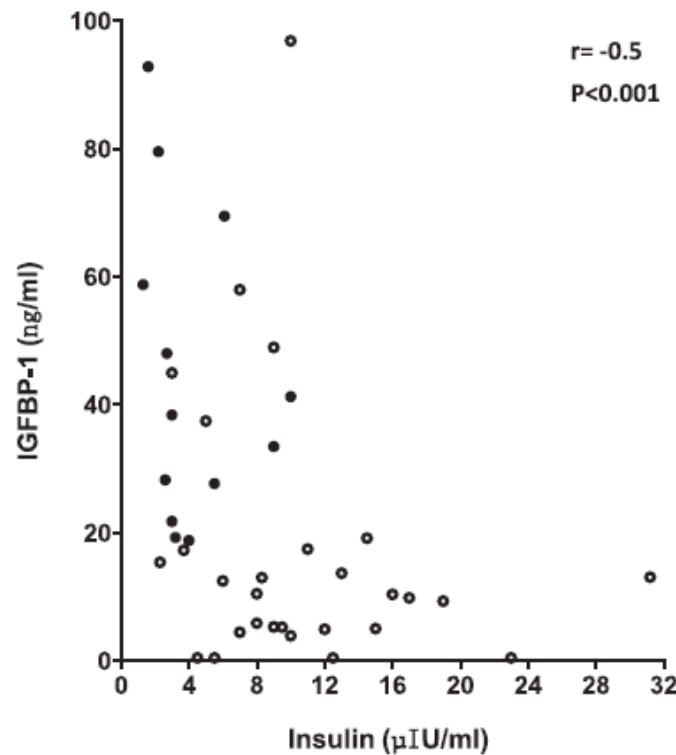


Fig. 4. Pairwise scatter-plots and Spearman correlation coefficients for serum IGFBP-1 (ng/ml) and insulin (μ IU/ml) levels in obese and non-obese children. Open and closed circles represent obese and control children, respectively. A negative correlation was observed between serum IGFBP-1 concentration and insulin ($r = -0.5$, $P < 0.001$).



Obesidade e Eixo GH/IGF-I

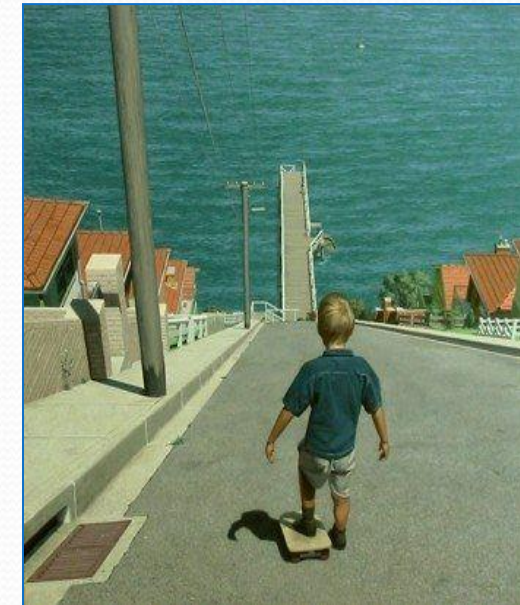
Table 1

Gender distribution, age (years), height-SDS (mean \pm SD) and BMI-SDS (mean \pm SD) in the obese and control groups.

	Obese	Control	P
Gender	15 M/14F	9 M/9F	N.S.
Age (yrs)	7.0 \pm 1.4	7.3 \pm 1.4	N.S.
Height-SDS	1.61 \pm 0.63	-0.27 \pm 0.61	< 0.0001
BMI-SDS	3.21 \pm 1.26	0.09 \pm 0.77	< 0.0001

SD: standard deviation, M: male, F: female, N.S.: not significant ($P > 0.05$).

Exercício físico x restrição calórica



Exercício físico x restrição calórica

Published in final edited form as:

Med Sci Sports Exerc. 2010 January ; 42(1): 152–159. doi:10.1249/MSS.0b013e3181ad7f17.

Caloric Restriction with or without Exercise: The Fitness vs. Fatness Debate

D. Enette Larson-Meyer^{1,2}, Leanne Redman¹, Leonie K. Heilbronn³, Corby K Martin¹, Eric Ravussin¹, and The Pennington CALERIE Team¹

¹ Pennington Biomedical Research Center, Louisiana State University, Baton Rouge, LA

² University of Wyoming, Laramie, WY

³ Garvan Institute, Sydney, Australia

Exercício físico x restrição calórica

Larson-Meyer et al.

Page 12

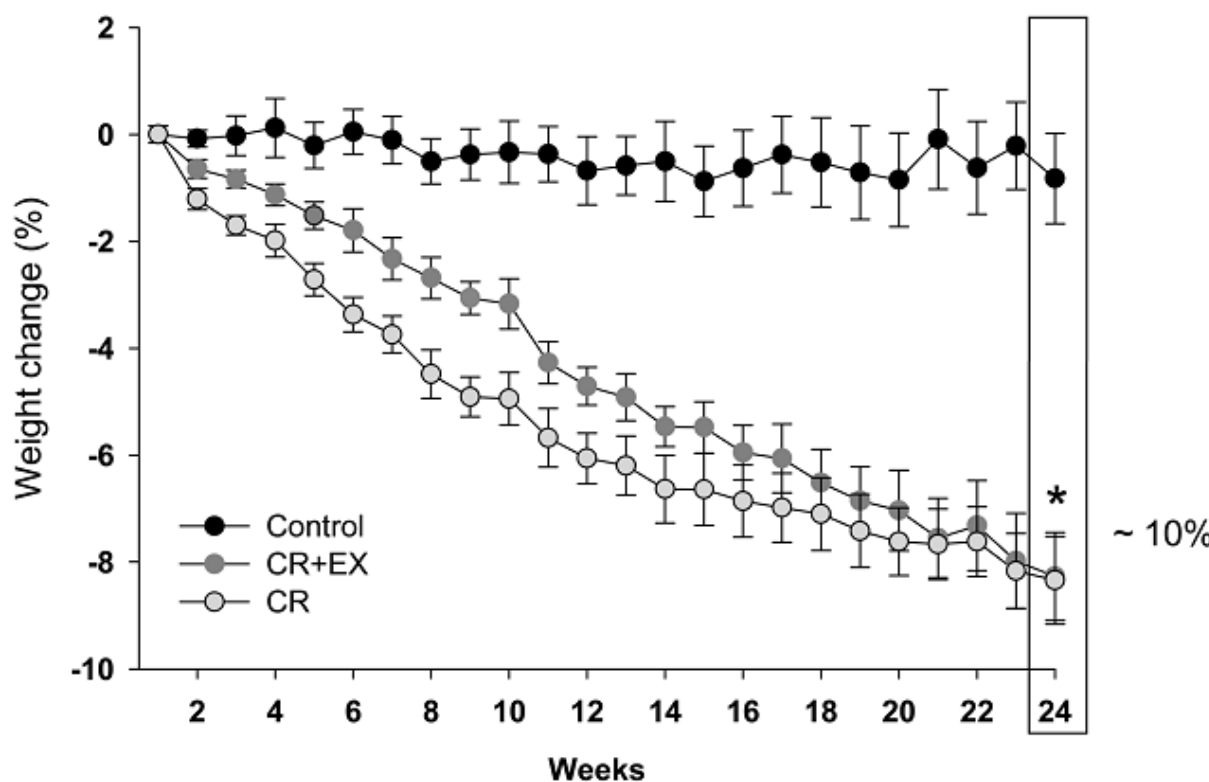
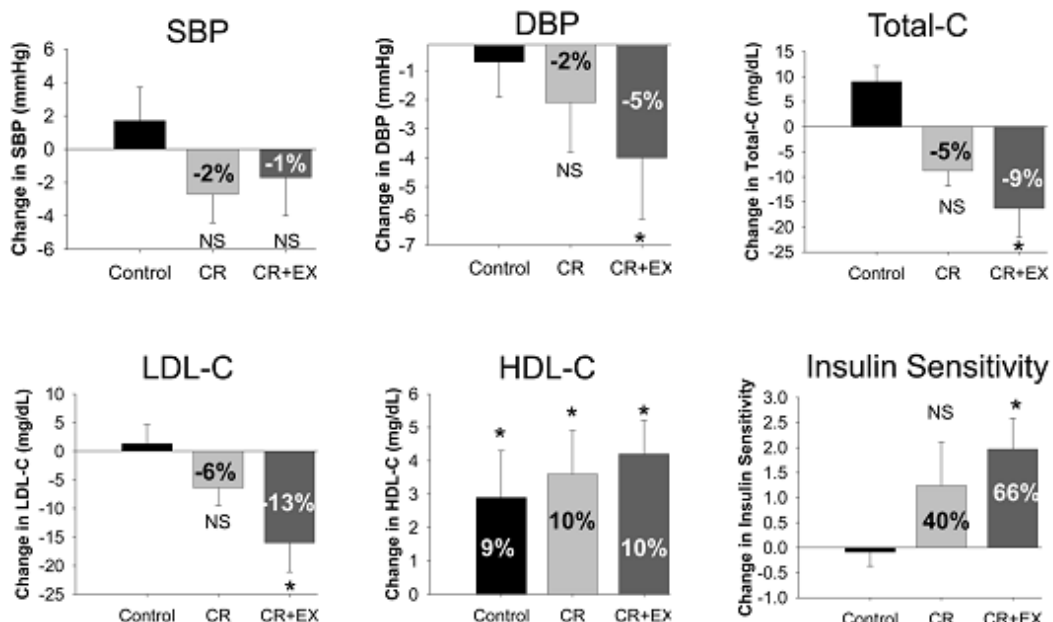


Figure 2.
Change in body mass over the 6 months of treatment with control, caloric restriction (CR), and caloric restriction structured aerobic exercise (CR+EX). There were no significant differences between CR and CR+EX treatments. *Significant ($p<0.005$) change from baseline.

Exercício físico x restrição calórica

Larson-Meyer et al.

Page 14



* Significant change from baseline

Figure 4.

Change in cardiometabolic risk factors after 6 months of treatment with control, caloric restriction (CR), and caloric restriction and increased structured exercise (CR+EX). Diastolic blood pressure, total cholesterol, LDL-cholesterol and insulin sensitivity were significantly improved vs. baseline in the CR+EX group but not in the CR or control groups. Systolic blood pressure was not changed by any of the treatments groups whereas HDL was significantly ($p<0.05$) increased in all treatment groups (including the control). * Significant ($p<0.05$) change from baseline.

Exercício e Eixo GH/IGF-I

J Appl Physiol 100: 1630–1637, 2006.

First published December 22, 2005; doi:10.1152/japplphysiol.01072.2005.

Reduced exercise-associated response of the GH-IGF-I axis and catecholamines in obese children and adolescents

Alon Eliakim,^{1,2,3} Dan Nemet,^{1,2,3} Frank Zaldivar,¹ Robert G. McMurray,⁴
Floyd L. Culler,¹ Pietro Galassetti,¹ and Dan M. Cooper¹

¹Pediatric Exercise Research Center, Department of Pediatrics, University Children's Hospital, University of California, Irvine, California; ²Child Health & Sports Center, Pediatric Department, Meir General Hospital, Kfar-Saba, Israel; ³Sackler School of Medicine, Tel Aviv University, Tel Aviv, Israel;
and ⁴Department of Exercise and Sport Science, University of North Carolina, Chapel Hill, North Carolina

Submitted 1 September 2005; accepted in final form 23 November 2005

Exercício e Eixo GH/IGF-I

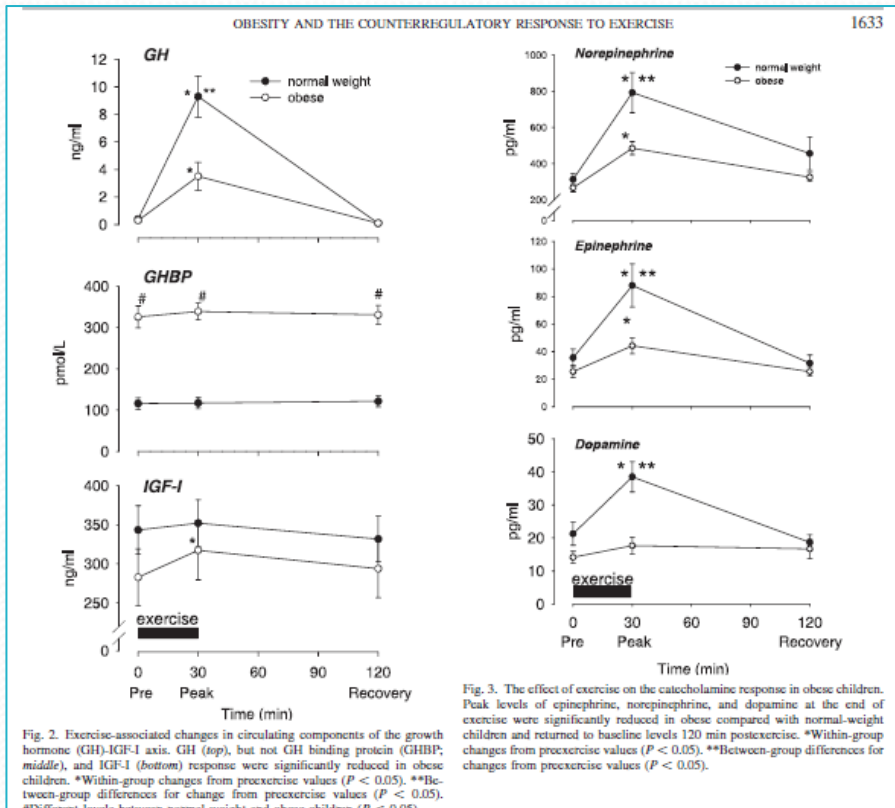


Fig. 2. Exercise-associated changes in circulating components of the growth hormone (GH)-IGF-I axis. GH (top), but not GH binding protein (GHBP, middle), and IGF-I (bottom) response were significantly reduced in obese children. *Within-group changes from preexercise values ($P < 0.05$). **Between-group differences for change from preexercise values ($P < 0.05$). #Different levels between normal-weight and obese children ($P < 0.05$).

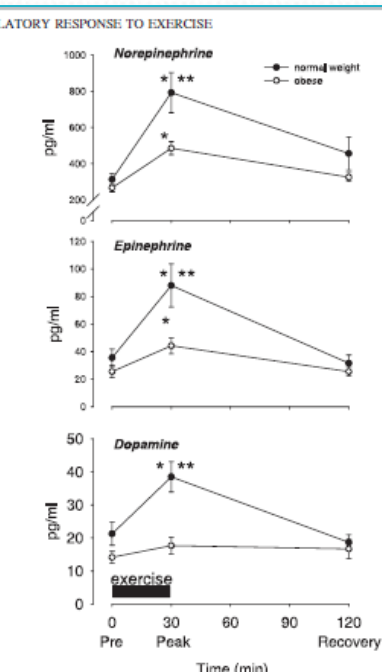


Fig. 3. The effect of exercise on the catecholamine response in obese children. Peak levels of epinephrine, norepinephrine, and dopamine at the end of exercise were significantly reduced in obese compared with normal-weight children and returned to baseline levels 120 min postexercise. *Within-group changes from preexercise values ($P < 0.05$). **Between-group differences for changes from preexercise values ($P < 0.05$).

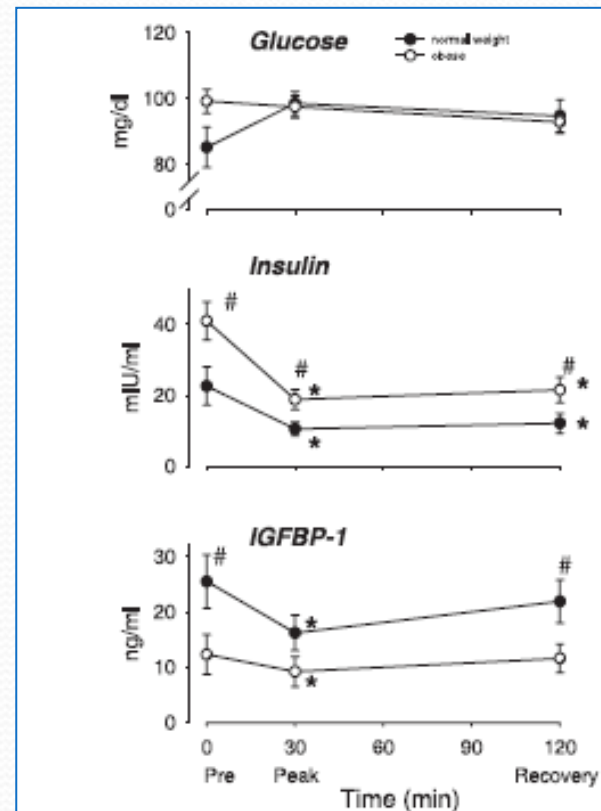


Fig. 4. Exercise-associated changes in serum glucose, insulin, and IGF-binding protein-1 (IGFBP-1) levels in normal and obese children and adolescents. Despite higher insulin levels in obese children at all time points, none of the participants developed hypoglycemia. *Within-group changes from preexercise values ($P < 0.05$). #Different levels between normal weight and obese children ($P < 0.05$).

TECNOLOGIA E SEDENTARISMO



Exergames e Exercício Físico

Uma possibilidade real num mundo virtual



Programa de condicionamento físico com Exergames EEFERP/USP

- ↑ Experiências positivas;
- ↑ Auto-estima
- ↑ Motivação para a prática
- ↑ Educação alimentar;
- ↓ dobras cutâneas



OBESIDADE

Manual



Obesidade na infância e adolescência: Manual de Orientação

Departamento de Nutrologia

2ª Edição Restaurada e Ampliada



Quadro 2 - Alvos potenciais para a prevenção da obesidade na infância e na adolescência





tourinho@usp.br